

(1) まえがき：橋脚の周りの洗掘について多くの研究者によって行われてはいるが、この報告は河床の侵食、いわゆる Regime の概念と適用する立場から、安全洗掘深についての検討と提案である。

(2) 洗掘と損失水頭との関連性について。

局部的洗掘の分類は一般に流送土砂の有無、洗掘穴への流入・流出土砂量の相互関係から行われてはいるが、洗掘と損失水頭との相互関係から検討する。

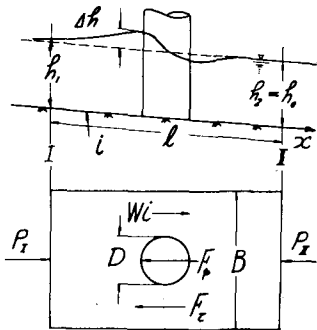


図-1の流況において、 $l$  区間の水の  $x$  方向の運動量方程式は(1)式によって示される、  
 ことに  $P_1, P_2, W, F_p, F_c$  は各断面の圧力、流速の項、 $W$  は水の自重、 $F_p$  は橋脚部の検査面に作用する力、 $F_c$  は摩擦力である。

$$P_1 + W_i - P_2 - F_p - F_c = \frac{\beta W Q}{g} (v_2 - v_1) \quad (1)$$

次の便宜のため、損失水頭は(1)式より近似的に(2)式によって示される： $h_1 \approx h_2, W \approx W B h_2 l, i = h_2/l, F_p = C_D D (h_0 + \Delta h) \rho v_0^2 / 2$  ことに  $C_D$  は柏林係数、 $F_c = l \rho v_0^2 = l \rho f v_0^2 / 2$

$$\left. \begin{aligned} h_2 &= C_D \left(1 + \frac{\Delta h}{h_0}\right) \frac{D}{B} \frac{v_0^2}{2g} + f \frac{l}{R_0} \frac{v_0^2}{2g} \\ &= h_p + h_f \end{aligned} \right\} (2)$$

右辺第1項は橋脚による損失で、橋脚の周りの渦(馬蹄形渦、ウエーク)および表面摩擦によって生ずる、第2項は橋脚のない場合の  $l$  区間の摩擦による損失に相当する、さて河床の掃流力  $w R_0 h_2 / l = \tau_{np}$  と境界掃流力  $\tau_0$  との比較によって局部的洗掘を分類する。

a)  $\tau_{np} < \tau_0$  の場合：i)  $h_p$  に相当するエネルギーが橋脚の周りの渦、橋脚の摩擦などによって完全に消費される場合は局部的洗掘が生じないで河床は安全であるが、ii) 完全に消費されない場合には、過剰のエ

ネルギーによって洗掘が生じ、それに平行して渦自身の形態も変り、最終的にはエネルギーの消費が完全に局部的渦、摩擦などに行きわたるまで、洗掘現象が暴走し、安定した洗掘穴が形成されるものと推論される、すなわち、i), ii) の境界がいはゆる洗掘発生限界となる。

b)  $\tau_{np} > \tau_0$  の場合：流送土砂に伴う洗掘で、洗掘穴への土砂の流入・流出量の相互関係によって洗掘穴の暴走、安全が説明されるが、エネルギーの消費は(2)の場合の外に、洗掘穴への流入する流送土砂の減速並みに流出する土砂の加速、あるいは減速・加速過程での砂粒を巻き込んだ渦などにエネルギーが消費されるであろう、 $\tau_{np} > \tau_0$  のときは最大洗掘深が振動する研究結果が述べられているが、洗掘穴での砂粒を食んだ水の流水に注目すると、砂粒は水の流水にとって一種の障害あるいは抵抗として働くから、砂粒の存在によって水の流況が変えられることが予想され、洗掘現象が非対称、振動の傾向が想像されることにより理解される、すなわちしても損失水頭と洗掘深との関係は(2)の場合に比べ非常に複雑であることが推定されるので、以下(2)の場合を対象にして述べる。

3) Regime の概念からの安全洗掘深への提案。

a) Regime depth,  $h_r$  について。

安全な河川の深さが流量、砂水きの粒径などの項で示される時、これを Regime depth と呼ばれる、もし河川を幅の広い長方形断面と仮定すると  $h_r$  は Lacey, Blanck による次のように示される。

i) Lacey's eq.

$$h_r = 0.910 (Q^2 / f)^{1/3} \quad \text{ft-unit}$$

$$f = 8 \sqrt{d_m (\text{in})} = 1.59 \sqrt{d_m (\text{mm})} \quad (\text{ft}/\text{sec}^2) \quad (3)$$

$Q = Q/B, f$  は Lacey の silt factor と呼ばれ、 $d_m$  は砂水きの平均粒径である、(3)式において  $1.59 \sqrt{d_m}$  は  $8 \sqrt{d_m (\text{mm})} / 25.4$  によって示されるから、 $8$  は  $\text{ft}/\text{sec}^2$  の単位をもち、 $0.910$  は無次元定数である。

ii) Blanck's eq.

$$\left. \begin{aligned} h &= (q^2/f_b)^{1/3} \quad (\text{ft-unit}) \\ f_b &= 9.6(d_m(\text{in}) (1+0.012C)) \quad (\text{ft/sec}^2) \end{aligned} \right\} (4)$$

$f_b$  は Blench の bed factor と呼ばれるので、 $C$  は土砂濃度である、或る  $C=0$  の場合の  $f_b$  の値は  $1.2f$  であるから、 $f$  と  $f_b$  とは余り差がないことが理解される。

b) 洗掘深に対する Regime の概念の適用。

2) の a) の項で述べたように、洗掘発生限界時と等流した洗掘穴が得られた時には、それを橋脚の周りの河床形状は違っているが、共に河床が等流していることに注目すると、図-2 の a) の等流状態を b) の等流状態に近似的に置きかえらるならば、Regime の概念が適用されることが推論される。

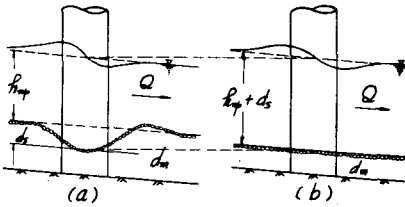


図-2

ただし、このように置きかえる想定は実験によって検討されるであろう。

Regime の概念の適用が許されるならば、最大洗掘深も洗掘発生限界の水深と共に、流量、河床砂小き、橋脚の大きさなどの項によって与えられる、橋脚部の Regime depth の式によって表示されるだろう。

以上の想定のもとに、橋脚の周りの洗掘現象について検討を試みる。

c) 橋脚部の Regime depth について。

Lacey, Blench の Regime depth の式を用いて橋脚部の Regime depth,  $h$ , について考察する。

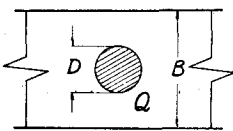


図-3

図-3 の橋脚設置断面の単位幅当りの流量

$$\begin{aligned} q_p &= Q/(B-D) \\ &= q/(1-K), \end{aligned}$$

$K=D/B$  によって示される、もし  $K$  が非常に小さく、流れを potential flow と仮定すると、橋脚の周りの最大流速は橋脚の影響のないところの流速の 2

倍になることに注目すると、橋脚部において予測される最大単位幅当りの流量は次のように示される。

$$q_{max} = 2q/(1-K) \quad (5)$$

(3), (4) 式の  $q$  に  $q_{max}$  を代入することによって、橋脚部の Regime depth として (6), (7) 式がそれぞれ得られる

$$\left. \begin{aligned} h &= \frac{1.44}{\sqrt{f}} \left( \frac{q}{1-K} \right)^{2/3} \quad (\text{m-unit}) \\ f &= 2.44 \sqrt{d_m(\text{mm})}/24.5 \end{aligned} \right\} (6)$$

$$\left. \begin{aligned} h &= \frac{1.59}{\sqrt{f_b}} \left( \frac{q}{1-K} \right)^{2/3} \quad (\text{m-unit}) \\ f_b &= 2.93 \sqrt{d_m(\text{mm})}/24.5 (1+0.012C) \end{aligned} \right\} (7)$$

両式の妥当性は実験、実測などによって確認されるであろう、従来洗掘現象に  $K$  の因子が著者等を除いて在外視されてきたが、その真のついで現実面から本邦 49 橋について  $K$  の値を調べた結果図-4 が得られた、一方 (2) 式の  $C_p, h_p$  に思をはせると、 $K$  を考慮することは、洗掘現象を論ずるには  $K$  の因子が当然入って来るべきことが妥当であると考えらる。

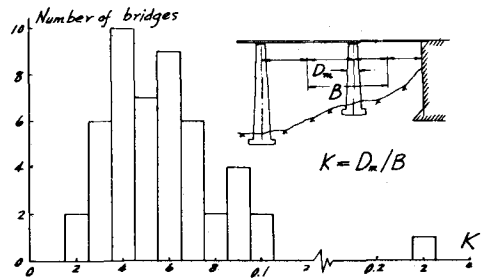


図-4

幅 20cm の長方形断面水路、 $K=0.1, 0.2, 0.25, d_m(\text{mm})$  1.5, 2.5, 3.5 の条件で円形橋脚の周りの洗掘に関する実験を行なう、洗掘発生限界時に関する資料を (6) 式に従って整理、plot すると図-5 が得られた、また最大洗掘水深および洗掘発生限界時の資料を同時の (6) 式に従って plot すると図-6 が得られた、ただしこれらの資料は  $C_{np} < C_c$ ,  $F_p = V_{np}/\sqrt{g h_p} < 0.5$  のいわゆる常流下の資料である。

これらの図より、図-5 においては (6) 式の傾向が理解され、図-6 の原中と下の直線間に状態の違う 2 種類の資料が含まれ、その相互関係から図-2 の a) と b) に置きかえることの可能性が見られる。

Beginning of scouring action

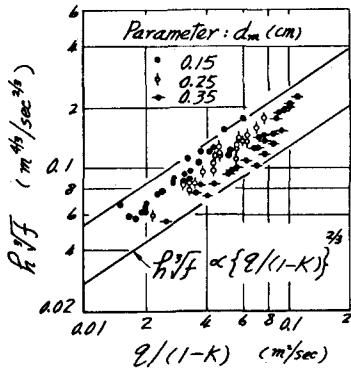


図-5

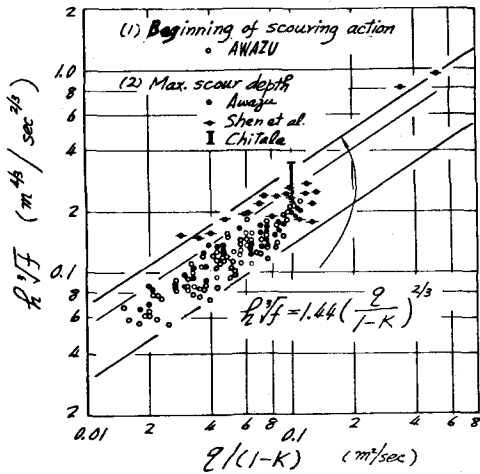


図-6

次に Shen, Schneider & Karaki, Chitale (模型は円形ではない) 等の実験資料を 図-6 に plot とした、なおこの図には示してはいるが、Neill の観測値を考慮すると、図-6 より (6) 式によって最大洗掘水深の予測が可能であることが見られる。

なお (7) 式に従ってもこれらの資料は同様に plot されたことは、(6)、(7) 式と比較することによって容易に理解されるので 図と省略する。

d) 洗掘現象と損失水頭との関連性について。

洗掘発生限界並に洗掘水深が (6)、(7) 式によって示されることになったので、両式が背走されることを基礎として以下の二つについて述べる。

一般に河床物質、流量、二相配、水路幅、橋脚径などから与えられると、洗掘現象は次のように説明される、

ただし  $C_p < C_0$  の条件下で (6) 式を用いると

$$h_0 \cong \frac{1.44}{f} \left( \frac{V}{1-K} \right)^{2/3} = h_r \quad (8)$$

$h_0, h_r$  は等流水深と橋脚部の Regime depth である、この式は下記の状態を示しているが、その内容は a)  $h_0 > h_r$  の場合は洗掘を伴い、b)  $h_0 = h_r$  の場合は洗掘発生限界を示し、c)  $h_0 < h_r$  の場合は橋脚の圓りが洗掘されることを示す意味している。

次に橋脚設置に伴う局所的損失水頭は、洗掘発生限界時においては、前に述べたように橋脚の圓りの渦(馬蹄形渦, ヲエーグ)、摩擦などによって消費される水頭に相当するものと考えられる、従ってその時の損失水頭は、近似的に  $\Delta h_p/h_0 \cong 0$  とした (2) 式と (6) 式より次のように表示される。

$$\begin{aligned} h_p &= C_D \frac{K}{2g} \frac{V^2}{h_0^2} \\ &= \frac{C_D K (1-K)^{4/3}}{1.44^2 \times 2g} (fV)^{2/3} \quad (9) \end{aligned}$$

または

$$\frac{h_p}{h_r} = \frac{C_D f K (1-K)^2}{6g} \quad (10)$$

一般に  $C_D$  は橋脚の形状によっても異なるので、(10) 式は  $h_p/h_r$  の値が任意に橋脚形状、 $d_m, K$  によって一定値を持つことが示されてはいるが、限界橋流力および  $K$  の増加を考慮すると理解されるであろう。

$h_0 < h_r$  の場合、図-2 の (a) と (b) に置きかえることが可能であるとの考えのもとに、洗掘に寄与すべき有効水頭、 $h_{sc}$  は近似的に次のように推定される。

$$\begin{aligned} h_{sc} &= \left\{ \frac{1}{f_0^2} - \frac{f^{2/3}}{1.44^2} \left( \frac{1-K}{V} \right)^{4/3} \right\} C_D K \frac{V^2}{2g} \\ &= \left( \frac{1}{f_0^2} - \frac{1}{f_r^2} \right) C_D K \frac{V^2}{2g} \quad (11) \end{aligned}$$

この式において  $f_0 = f_r, h_{sc} = 0$  とおくと、洗掘の発達は  $f_0$  が時間の経過に伴って  $f_r$  に近づく、最終的に  $f_0 \rightarrow f_r$  に至って発達が停止するとして解される。

以上橋脚の圓りの洗掘についての approach とし Regime の概念を適用することの可能性と、安全洗掘水深が洗掘発生限界の資料から予測できる可能性を示すと共に、洗掘現象の分類並に洗掘とエネルギーとの関係と巨視的立場から説明することができた。